

日本大学理工学部 正会員 ○ 中山 晴幸
日本大学理工学部 正会員 浅川 美利

1. まえがき

粘土が堆積条件や圧密条件などによりある構造を持つたとすれば、圧密時の主応力軸とせん断時の主応力軸が主応力の回転により変化した場合、せん断特性は異なった傾向を示すと認められる。事実そのような結果は数多く報告されており、また支持力や地盤の变形問題に応用しようとする試みもある。

筆者らの目的もある特定な構造を持つ粘土を対象にして、主応力軸を変化させてせん断したときのせん断特性を明らかにすることである。これは、人工的にある特定な構造を持つと考えられる試料を作成し、主応力軸を変化させ排水・非排水三軸圧縮試験を行ってせん断特性を実験的に調べた結果を報告する。

2. 実験方法

実験方法は前報告¹⁾とほぼ同一であるので、ここでは前報告と異なる点について記す。

試料は含水比150%で練り返し、大型モールドに詰め、大型圧密試験機²⁾で8kg/cm²まで段階的に圧密した。全圧密時間は約20時間である。圧密後、試料から供試体を角柱と見て切り出し、三軸室にセットして供試体中央部と上下に合計3つの側方変位検出器を取り付けた。検出器の間隔は供試体中央附近に集めて測定すると平均的な側方変位より大きな変形を測定してしまうことから、前回より多少間隔を広げて3mm間隔とした。

3. 実験結果

図-1、2には排水条件と非排水条件の主応力比～軸ひずみあるいは剛性～軸ひずみ関係を示している。それらの条件が共通しているのは45°供試体が一番低い強度を示していることと、せん断初期(0≤ε₁≤2%)における差がまだ表れていないことである。このことはせん断初期において、ダイラタンシーア比分よりも圧密成分の影響が卓越しているからである。さらにせん断が進行すると、構造の違いによるダイラタンシーア比分の方が卓越するための差は明白となり、約8%附近でほぼ一定値に落ちつく。また、90°CIDはかなり明確なピークを持っており、90°、0°、45°の順で破壊時の軸ひずみは強度に反比例して大きめの値を持つようになる。このような傾向はDuncan³⁾の結果と同様である。

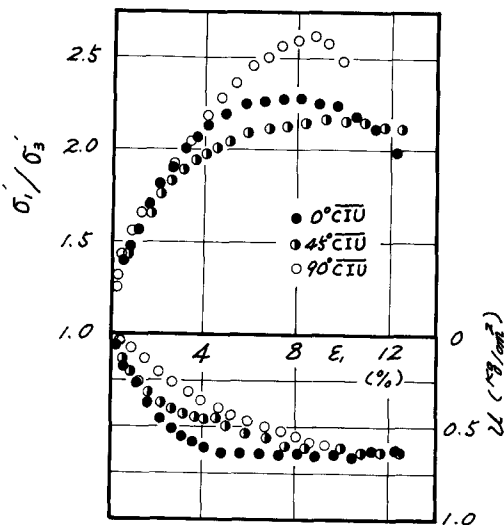


図-1 主応力比～軸ひずみ～剛性～水圧

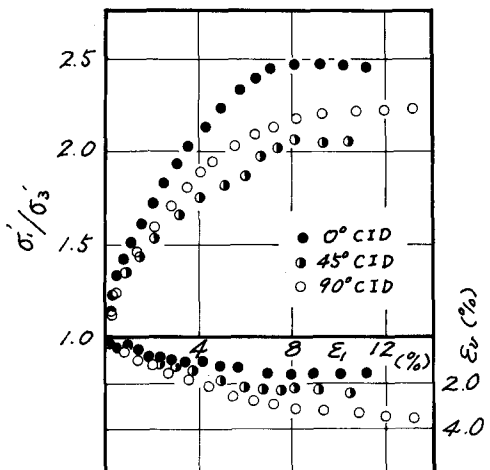


図-2 主応力比～軸ひずみ～体積ひずみ

さて、図-3に示すように圧密時の最大主応力によって主応力軸に対して 90° に定方向配列している土粒子あるいは土粒子群が多いためと仮定すると、せん断が進行してマセン断方向に粒子あるいは粒子群が再配列するためには、 90° 供試体で一番大きなエネルギーを必要とするほどられ、最もエネルギーが少なくてすむのは 45° 供試体である。この仮定から、強度の順は $90^\circ > 45^\circ > 0^\circ$ である。図-4に示す結果は仮定どおりの結果である。特に非排水試験については 90° 供試体で 100% をすこし 45° 供試体が 83% 、 0° 供試体は 87% の強度であった。

図-5は排水試験時の体積ひずみより算出した ϵ_3/ϵ_1 用いて主ひずみ比 $-\epsilon_3/\epsilon_1$ を示し、図-6には非排水条件下での側方変位検出器から求められた主ひずみ比 $-\epsilon_3/\epsilon_1$ を示した。非排水条件下的体積ひずみは $\epsilon_2=0$ での $-\epsilon_3/\epsilon_1 = 0.5$ となり、一定値を示すはずだが、この場合には中央部3ヶ所で測定して側方変位を用いていたためにこの結果が得られている。

注記すべき点は、両条件ともに 0° 供試体が大きさを示していることである。図-3の仮定から側方に広がるよう変位する粒子あるいは粒子群が多く含まれる可能性があるのは 0° 供試体である。同様にその反対は 90° 供試体ではなくてはならないが、結果はその傾向にある。しかし、 45° 供試体は比較的早く一定値に落ち着くのではないかと予想したが、そのような傾向はみられなかった。

4. あとがき

粘土粒子の粒径が非常に微少なことや、実際には粒子自体ではなく、粒子群として变形することなどを考え合わせると、このように単純には説明できなうと思われる。今後、多くのデータ集積が必要であろう。

なお、この実験を進める上で熱意と労を惜しまなかつた現・日本鉄道山口栄一氏および本学4年生大谷章彦、川崎耕一郎君らに深謝したい。

参考文献 1) 清川、甲山、山口：粘土のせん断特性に与えられる造園剤の影響について：第13回工機研究発表会論文集
2) Duncan, J. M. et al: Anisotropy and Stress Reorientation in clay,
ASCE, Vol. 92, SM5, 1966

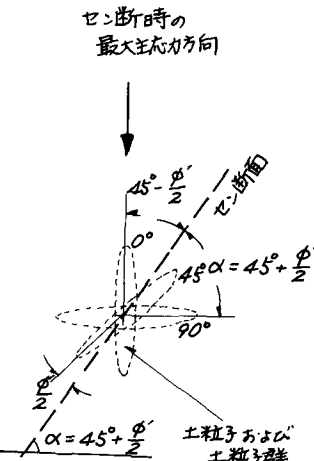


図-3 配列モデル

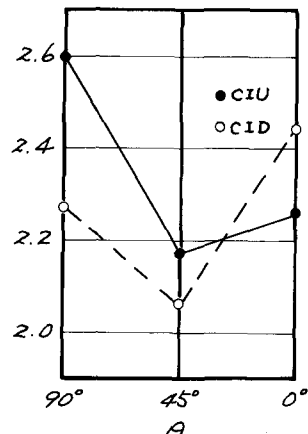


図-4 $(\epsilon_3/\epsilon_1) \sim \theta$

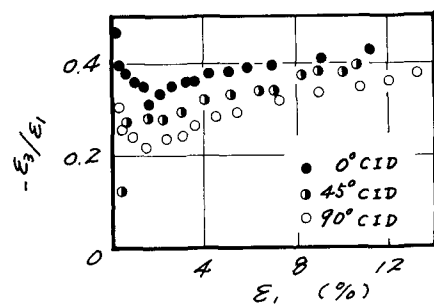


図-5 $-\epsilon_3/\epsilon_1 \sim \epsilon_1$

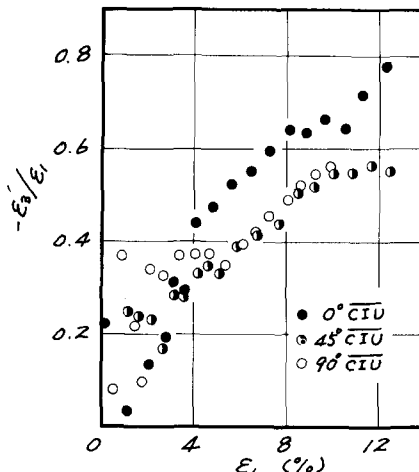


図-6 $-\epsilon_3/\epsilon_1 \sim \epsilon_1$